

Starkniederschlagshöhen und -spenden gemäß KOSTRA-DWD-2020

Rasterfeld 137088

(Zeile 137, Spalte 88)

Regenspende und Bemessungsniederschlagswerte in Abhängigkeit von Wiederkehrzeit T und Dauerstufe D

| Dauerstufe D | | Wiederkehrzeit T | | | | | | | | | | | | | | | | | |
|--------------|-----|------------------|------------|------|------------|------|------------|------|------------|------|------------|-------|------------|-------|------------|-------|------------|-------|------------|
| | | 1 a | | 2 a | | 3 a | | 5 a | | 10 a | | 20 a | | 30 a | | 50 a | | 100 a | |
| min | Std | mm | l / (s ha) | mm | l / (s ha) | mm | l / (s ha) | mm | l / (s ha) | mm | l / (s ha) | mm | l / (s ha) | mm | l / (s ha) | mm | l / (s ha) | mm | l / (s ha) |
| 5 | | 5,8 | 193,3 | 7,1 | 236,7 | 7,8 | 260,0 | 8,9 | 296,7 | 10,4 | 346,7 | 11,9 | 396,7 | 12,9 | 430,0 | 14,2 | 473,3 | 16,1 | 536,7 |
| 10 | | 7,8 | 130,0 | 9,5 | 158,3 | 10,6 | 176,7 | 12,0 | 200,0 | 14,0 | 233,3 | 16,1 | 268,3 | 17,4 | 290,0 | 19,2 | 320,0 | 21,7 | 361,7 |
| 15 | | 9,1 | 101,1 | 11,1 | 123,3 | 12,3 | 136,7 | 13,9 | 154,4 | 16,3 | 181,1 | 18,7 | 207,8 | 20,2 | 224,4 | 22,3 | 247,8 | 25,3 | 281,1 |
| 20 | | 10,0 | 83,3 | 12,2 | 101,7 | 13,6 | 113,3 | 15,4 | 128,3 | 17,9 | 149,2 | 20,6 | 171,7 | 22,3 | 185,8 | 24,6 | 205,0 | 27,9 | 232,5 |
| 30 | | 11,4 | 63,3 | 13,9 | 77,2 | 15,5 | 86,1 | 17,5 | 97,2 | 20,4 | 113,3 | 23,5 | 130,6 | 25,4 | 141,1 | 28,0 | 155,6 | 31,7 | 176,1 |
| 45 | | 12,9 | 47,8 | 15,7 | 58,1 | 17,5 | 64,8 | 19,8 | 73,3 | 23,1 | 85,6 | 26,5 | 98,1 | 28,7 | 106,3 | 31,7 | 117,4 | 35,9 | 133,0 |
| 60 | 1 | 14,0 | 38,9 | 17,1 | 47,5 | 19,0 | 52,8 | 21,5 | 59,7 | 25,1 | 69,7 | 28,8 | 80,0 | 31,2 | 86,7 | 34,4 | 95,6 | 39,0 | 108,3 |
| 90 | 1,5 | 15,7 | 29,1 | 19,1 | 35,4 | 21,3 | 39,4 | 24,1 | 44,6 | 28,1 | 52,0 | 32,3 | 59,8 | 35,0 | 64,8 | 38,6 | 71,5 | 43,7 | 80,9 |
| 120 | 2 | 17,0 | 23,6 | 20,7 | 28,8 | 23,0 | 31,9 | 26,1 | 36,3 | 30,4 | 42,2 | 34,9 | 48,5 | 37,9 | 52,6 | 41,8 | 58,1 | 47,3 | 65,7 |
| 180 | 3 | 19,0 | 17,6 | 23,1 | 21,4 | 25,7 | 23,8 | 29,1 | 26,9 | 34,0 | 31,5 | 39,0 | 36,1 | 42,3 | 39,2 | 46,6 | 43,1 | 52,8 | 48,9 |
| 240 | 4 | 20,5 | 14,2 | 25,0 | 17,4 | 27,8 | 19,3 | 31,4 | 21,8 | 36,7 | 25,5 | 42,1 | 29,2 | 45,7 | 31,7 | 50,4 | 35,0 | 57,0 | 39,6 |
| 360 | 6 | 22,8 | 10,6 | 27,8 | 12,9 | 30,9 | 14,3 | 35,0 | 16,2 | 40,9 | 18,9 | 46,9 | 21,7 | 50,9 | 23,6 | 56,1 | 26,0 | 63,5 | 29,4 |
| 540 | 9 | 25,4 | 7,8 | 31,0 | 9,6 | 34,4 | 10,6 | 39,0 | 12,0 | 45,5 | 14,0 | 52,2 | 16,1 | 56,6 | 17,5 | 62,4 | 19,3 | 70,7 | 21,8 |
| 720 | 12 | 27,4 | 6,3 | 33,4 | 7,7 | 37,1 | 8,6 | 42,0 | 9,7 | 49,1 | 11,4 | 56,3 | 13,0 | 61,1 | 14,1 | 67,3 | 15,6 | 76,3 | 17,7 |
| 1080 | 18 | 30,5 | 4,7 | 37,2 | 5,7 | 41,3 | 6,4 | 46,7 | 7,2 | 54,6 | 8,4 | 62,6 | 9,7 | 67,9 | 10,5 | 74,9 | 11,6 | 84,8 | 13,1 |
| 1440 | 24 | 32,8 | 3,8 | 40,1 | 4,6 | 44,5 | 5,2 | 50,4 | 5,8 | 58,8 | 6,8 | 67,5 | 7,8 | 73,2 | 8,5 | 80,7 | 9,3 | 91,4 | 10,6 |
| 2880 | 48 | 39,4 | 2,3 | 48,0 | 2,8 | 53,4 | 3,1 | 60,4 | 3,5 | 70,5 | 4,1 | 80,9 | 4,7 | 87,8 | 5,1 | 96,7 | 5,6 | 109,6 | 6,3 |
| 4320 | 72 | 43,8 | 1,7 | 53,4 | 2,1 | 59,3 | 2,3 | 67,1 | 2,6 | 78,4 | 3,0 | 90,0 | 3,5 | 97,6 | 3,8 | 107,5 | 4,1 | 121,8 | 4,7 |
| 5760 | 96 | 47,2 | 1,4 | 57,5 | 1,7 | 63,9 | 1,8 | 72,3 | 2,1 | 84,5 | 2,4 | 97,0 | 2,8 | 105,2 | 3,0 | 115,9 | 3,4 | 131,3 | 3,8 |
| 7200 | 120 | 50,0 | 1,2 | 61,0 | 1,4 | 67,7 | 1,6 | 76,7 | 1,8 | 89,5 | 2,1 | 102,8 | 2,4 | 111,5 | 2,6 | 122,8 | 2,8 | 139,1 | 3,2 |
| 8640 | 144 | 52,4 | 1,0 | 63,9 | 1,2 | 71,0 | 1,4 | 80,4 | 1,6 | 93,9 | 1,8 | 107,8 | 2,1 | 116,9 | 2,3 | 128,8 | 2,5 | 145,9 | 2,8 |
| 10080 | 168 | 54,6 | 0,9 | 66,5 | 1,1 | 74,0 | 1,2 | 83,7 | 1,4 | 97,7 | 1,6 | 112,2 | 1,9 | 121,7 | 2,0 | 134,1 | 2,2 | 151,9 | 2,5 |

Starkniederschlagshöhen und -spenden gemäß KOSTRA-DWD-2020

Rasterfeld 137088

(Zeile 137, Spalte 88)

Örtliche Unsicherheiten in Abhängigkeit von Wiederkehrzeit T und Dauerstufe D

| Dauerstufe D | | Wiederkehrzeit T | | | | | | | | |
|--------------|-----|------------------|-----|-----|-----|------|------|------|------|-------|
| | | 1 a | 2 a | 3 a | 5 a | 10 a | 20 a | 30 a | 50 a | 100 a |
| min | Std | ± % | ± % | ± % | ± % | ± % | ± % | ± % | ± % | ± % |
| 5 | | 12 | 13 | 13 | 14 | 15 | 15 | 16 | 16 | 16 |
| 10 | | 13 | 15 | 16 | 17 | 18 | 19 | 19 | 20 | 20 |
| 15 | | 15 | 17 | 18 | 19 | 20 | 21 | 21 | 22 | 22 |
| 20 | | 16 | 18 | 19 | 20 | 21 | 22 | 22 | 23 | 24 |
| 30 | | 16 | 18 | 19 | 21 | 22 | 23 | 23 | 24 | 25 |
| 45 | | 16 | 19 | 20 | 21 | 22 | 23 | 24 | 24 | 25 |
| 60 | 1 | 16 | 18 | 19 | 20 | 22 | 23 | 23 | 24 | 25 |
| 90 | 1,5 | 15 | 17 | 18 | 20 | 21 | 22 | 22 | 23 | 24 |
| 120 | 2 | 15 | 17 | 18 | 19 | 20 | 21 | 22 | 22 | 23 |
| 180 | 3 | 14 | 16 | 17 | 18 | 19 | 20 | 20 | 21 | 22 |
| 240 | 4 | 13 | 15 | 16 | 17 | 18 | 19 | 20 | 20 | 21 |
| 360 | 6 | 12 | 14 | 15 | 16 | 17 | 18 | 18 | 19 | 19 |
| 540 | 9 | 11 | 13 | 13 | 14 | 15 | 16 | 17 | 17 | 18 |
| 720 | 12 | 11 | 12 | 13 | 14 | 15 | 16 | 16 | 17 | 17 |
| 1080 | 18 | 11 | 11 | 12 | 13 | 14 | 15 | 15 | 15 | 16 |
| 1440 | 24 | 11 | 11 | 12 | 12 | 13 | 14 | 14 | 15 | 15 |
| 2880 | 48 | 12 | 12 | 12 | 13 | 13 | 13 | 14 | 14 | 14 |
| 4320 | 72 | 14 | 13 | 13 | 13 | 13 | 14 | 14 | 14 | 14 |
| 5760 | 96 | 15 | 14 | 14 | 14 | 14 | 14 | 14 | 14 | 15 |
| 7200 | 120 | 16 | 15 | 15 | 15 | 15 | 15 | 15 | 15 | 15 |
| 8640 | 144 | 17 | 16 | 16 | 15 | 15 | 15 | 15 | 15 | 15 |
| 10080 | 168 | 18 | 17 | 16 | 16 | 16 | 15 | 15 | 16 | 16 |

Parameter für abweichende T und D

Lokationsparameter ξ (Xi)

14,38418139

Skalenparameter α (Alpha)

4,38841665

Formparameter κ (Kappa)

-0,1

1. Koutsoyiannis-Parameter θ (Theta)

0,035702

2. Koutsoyiannis-Parameter η (Eta)

0,73965157

Parameter für dauerstufenübergreifende Extremwertschätzung nach KOUTSOYIANNIS et al. 1998.

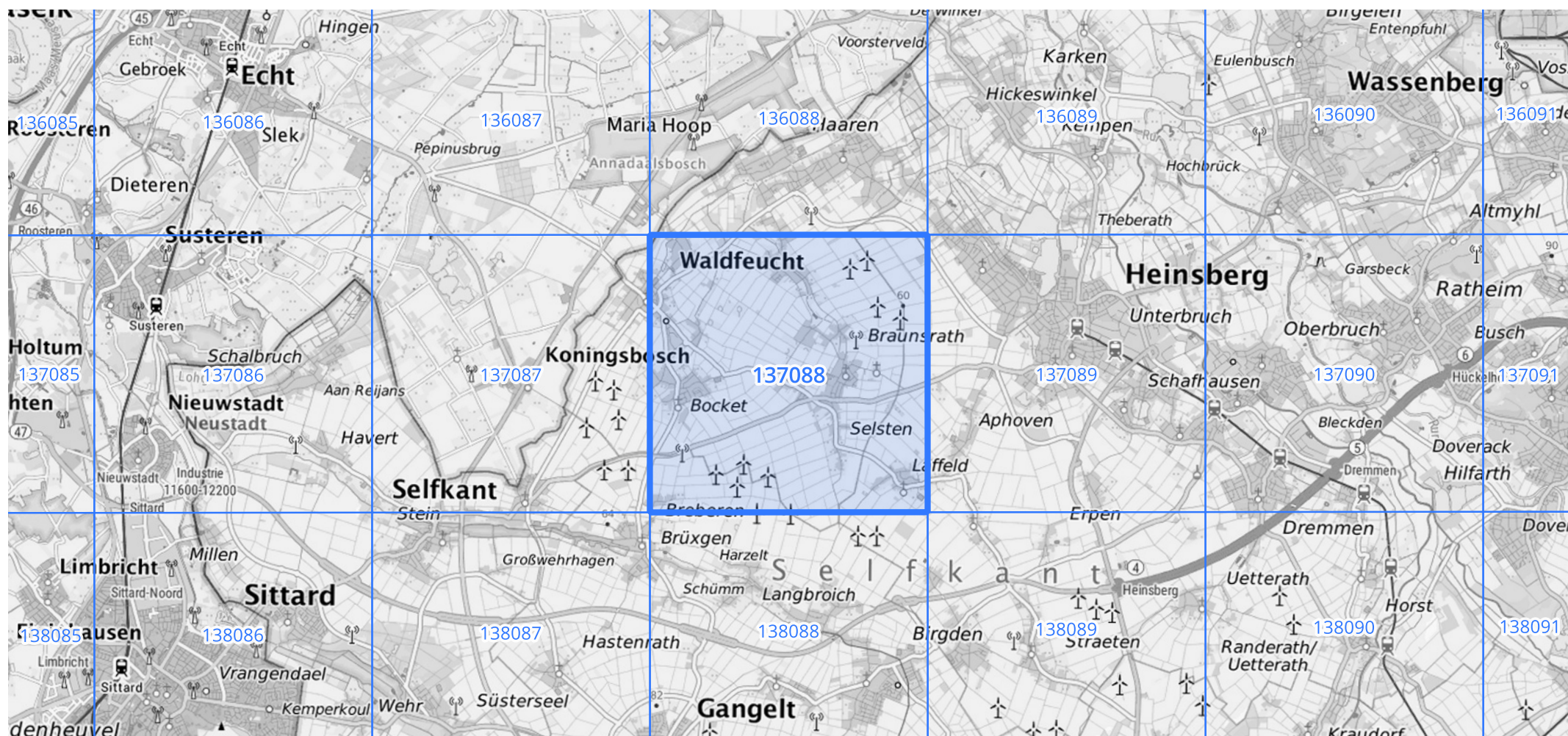
Siehe auch Anwendungshilfe zu KOSTRA-DWD-2020 des Deutschen Wetterdienstes.

Starkniederschlagshöhen und -spenden gemäß KOSTRA-DWD-2020

Rasterfeld 137088

(Zeile 137, Spalte 88)

Übersichtskarte des Rasterfeldes 137088, M 1 : 100 000



Quelle Rasterdaten: KOSTRA-DWD-2020 des Deutschen Wetterdienstes, Stand 12/2022.

Seite 3 von 3

Kartendarstellung: © Bundesamt für Kartographie und Geodäsie (2023), Datenquellen: https://sgx.geodatenzentrum.de/web_public/gdz/datenquellen/Datenquellen_TopPlusOpen.html

Für die Richtigkeit und Aktualität der Angaben wird keine Gewähr übernommen. Erstellt 01/2023.